

# НЕМИНИМАЛЬНО-ФАЗОВАЯ КОРРЕКЦИЯ ЦИФРОВОГО ЭЛЕКТРОПРИВОДА

**А.Н. Серебряков, Д.В. Коробатов**  
г. Челябинск, ЮУрГУ

Предлагается ввести в состав регулятора скоростного электропривода неустойчивое апериодическое звено. Показано, что использование неминимально-фазовой коррекции обеспечивает подавление колебаний, возникающих при увеличении периода квантования по времени цифрового регулятора скорости.

Как известно, неминимально-фазовыми называют звенья, у которых хотя бы один нуль или полюс их передаточных функций является правым [1]. При синтезе коррекции с помощью аппроксимированных амплитудных частотных характеристик (ЛАЧХ) неминимально-фазовые корректирующие звенья обычно не используют, хотя их техническая реализация трудностей не вызывает, особенно, если она выполняется программным путем [2]. Это связано с отсутствием у неминимально-фазовых звеньев однозначной связи между амплитудными и фазовыми частотными характеристиками и невозможностью тем самым оценивать переходные процессы по виду ЛАЧХ [3].

Рассмотрим свойства замкнутого по скорости электропривода постоянного тока с малоинерционным преобразователем в цепи якоря. На линеаризованной структурной схеме (рис. 1) преобразователь  $\Pi$  представлен апериодическим звеном с постоянной времени  $T_{\Pi}=0,001$  с. Это малая постоянная, которая учитывает в том числе «паразитные инерционности» элементов контура. Двигатель  $D$  представлен в виде последовательного соединения двух апериодических звеньев с постоянными временем якорной цепи  $T_{Я}=0,004$  с и электромеханической постоянной  $T_M=0,01$  с. При  $T_M \approx 4T_{Я}$  такое представление вполне допустимо. Регулятор скорости (РС) выполнен как пропорционально-дифференциальное звено с фильтрацией, где постоянная времени инерционной части  $T_2 \gg T_1$ . Все переменные на схеме (рис. 1) выражены волях от базовых значений, соответствующих номинальному напряжению на якоре  $U_{Я} = U_{Я\text{ном}}$ .

Стандартной настройке электропривода на «технический оптимум» соответствуют ЛАЧХ и ЛФЧХ, представленные на рис. 2. Контурный коэффициент передачи  $K_p = 100$  задается, исходя из требуемой точности отработки задания ( $\Delta\omega = 1\%$ ).

Частота среза системы  $\omega_c = \frac{1}{2T_\mu}$  определяется суммой малых «некомпенсируемых» постоянных времени контура

$$T_\mu = T_{Я} + T_{\Pi} = 0,004 + 0,001 = 0,005 \text{ с.}$$

Постоянная времени дифференцирующего канала регулятора выбирается равной наибольшей из по-

стоянных времени инерционных элементов объекта  $T_1 = T_M = 0,01$  с. Наконец, постоянная времени инерционного (фильтрующего) канала получается  $T_2 = K_p \cdot 2T_\mu = 100 \cdot 2 \cdot 0,005 = 1$  с. Переходный процесс на выходе системы при скачке задания, соответствующий выбранной настройке электропривода, протекает с небольшим перерегулированием (рис. 6,а) и заканчивается за время

$$\begin{aligned} t_{\text{пп}} &= (3...4)(2T_\mu + T_\mu) = \\ &= (3...4)(0,01 + 0,005) = (0,045...0,06) \text{ с.} \end{aligned}$$

При программной реализации регуляторов важное значение приобретает правильный выбор периода квантования (дискретизации) по времени  $T_0$ . При малых значениях  $T_0$  (например, для нашего случая  $T_0 < 0,001$  с) влиянием дискретизации можно пренебречь и рассматривать электропривод как обычную непрерывную систему. Однако при этом время, отводимое для вычисления управляющего воздействия, сокращается и, как следствие, от реализации сложных управляющих алгоритмов приходится отказываться и применять наиболее простые в ущерб точности, быстродействию и другим важным характеристикам привода. Если же необходимо реализовать сложный алгоритм управления, то приходится применять более быстродействующие, а значит и более дорогие микропроцессоры (чаще специализированные) которые, как правило, обладают избыточными функциями, за которые тоже надо платить [4].

При увеличении  $T_0$  (например,  $0,001 < T_0 < 0,01$ ) появляется возможность использовать дешевые микроконтроллеры общего назначения с меньшим быстродействием, так как времени на периоде квантования  $T_0$  теперь достаточно для обработки информации от датчиков и формирования воздействий при сложных алгоритмах управления. В то же время увеличение  $T_0 > 0,01$  может привести к неустойчивости системы даже и в том случае, если непрерывная часть обладает достаточными запасами по устойчивости [5]. Предельным значением периода квантования  $T_0$ , увеличивать который без потери работоспособности системы недопустимо, является

$$T_0^{\text{пред}} = \frac{2}{\omega_c}, \text{ где } \omega_c - \text{частота среза непрерывной системы [5]. Для рассматриваемого примера (рис. 1)}$$

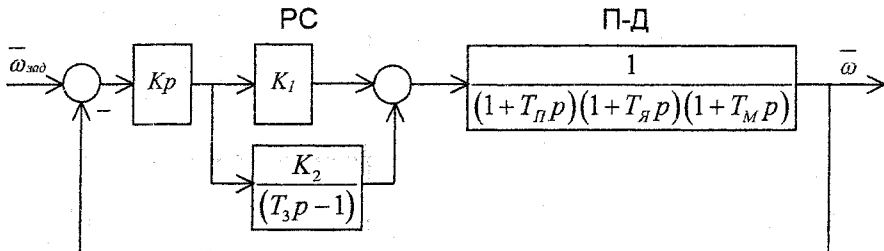


Рис. 1. Структурная схема электропривода

при  $\omega_c = \frac{1}{2T_\mu} = 100$  рад/с максимально допустимой

величиной периода дискретизации является  $T_0 = T_0^{\text{пред}} = 0,02$  с.

Наиболее наглядно влияние дискретизации можно выявить с помощью псевдочастотных ЛЧХ [6]. Для рассматриваемого примера (рис. 1) в области малых частот  $\omega < \omega_c$   $L_p(\omega^*) \approx L_p(\omega)$ ,

где  $\omega^* = \frac{2}{T_0} \operatorname{tg}\left(\omega \frac{T_0}{2}\right)$ , рад/с — размерная псевдочастота. Так как при  $\omega < \omega_c$   $\omega < \frac{2}{T_0}$ , то  $\operatorname{tg}\left(\omega \frac{T_0}{2}\right) \approx$

$\approx \omega \frac{T_0}{2}$  и  $\omega^* \approx \omega$ . В области высоких частот  $\omega > \omega_c$  передаточная функция непрерывной части может быть записана так:

$$W_H(p) = \frac{\omega_c}{p(T_\alpha p + 1)(T_\pi p + 1)} \approx \frac{\omega_c}{p(T_\mu p + 1)} = \\ = \omega_c \left( \frac{1}{p} - \frac{T_\mu}{T_\mu p + 1} \right).$$

Переходя к  $w$ -форме при использовании подстановки  $w = \frac{2 e^{pT_0} - 1}{T_0 e^{pT_0} + 1}$  для прямоугольных импульсов получаем [6]:

$$W_p(w) = \frac{\omega_c \left(1 - w \frac{T_0}{2}\right)}{w} - \frac{\omega_c T_\mu \left(1 - w \frac{T_0}{2}\right)}{1 + w T'_\mu},$$

$$\text{где } T'_\mu = \frac{T_0}{2} \frac{1 + e^{-\frac{T_0}{T_\mu}}}{1 - e^{-\frac{T_0}{T_\mu}}}.$$

$$\text{Примем } T_0 = \frac{T_0^{\text{пред}}}{2} = \frac{0,02}{2} = 0,01 \text{ с, тогда}$$

$T'_\mu = 0,00655$ . Передаточная функция разомкнутого контура

$$W_p(w) = \omega_c \frac{\left(1 - w \frac{T_0}{2}\right) \left[1 + w(T'_\mu - T_\mu)\right]}{w(1 + w T'_\mu)} =$$

$$= 100 \frac{(1 - 0,005w)(1 + 0,00155w)}{w(1 + 0,00655w)}.$$

Последнее выражение позволяет определить частотные характеристики цифрового электропривода как функции псевдочастоты (рис. 3). Из рис. 3 видно, что учет дискретизации по времени приводит к значительному увеличению отстающей фазы при частоте среза  $\omega_c^* = \omega_c = 100$  рад/с. Если в непрерывной системе запас устойчивости по фазе составил  $\Delta\phi = 60^\circ$  (рис. 2), то в дискретной системе с  $T_0 = 0,01$  с он уменьшился до величины  $\Delta\phi^* = 36^\circ$ . Для того, чтобы приблизить динамические характеристики цифрового и аналогового электроприводов в контур регулирования может быть введен дополнительный дискретный фильтр с ЛАЧХ  $L_\Phi^* \approx L_p - L_p^*$  и ЛФЧХ  $\varphi_\Phi \approx (\varphi_p - \varphi_p^*)$  (рис. 4). Так как  $\omega^* \neq \omega$  при  $\omega^* > \omega_c^*$ , характеристики  $L_\Phi$  и  $L_\Phi^*$ ,  $\varphi_\Phi$  и  $\varphi_\Phi^*$  близки лишь в среднечастотном диапазоне, когда  $\omega^*$  превышает  $\omega_c^*$  примерно в (2...4) раза. На высоких частотах ( $\omega^* > 10 \omega_c^*$ ) расхождения амплитудных  $L_\Phi$  и  $L_\Phi^*$  и фазовых  $\varphi_\Phi$  и  $\varphi_\Phi^*$  характеристик более заметны. Однако при выборе структуры фильтра указанным различием характеристик можно пренебречь.

Особенность характеристик (рис. 4) состоит в том, что «падающему» виду желаемой ЛАЧХ фильтра должна соответствовать опережающая фаза при частотах, близких к частоте среза непрерывной части. Такой вид ЛЧХ имеет неминимально-фазовое звено с передаточной функцией

$$W_\Phi(p) = \frac{1 - k_\Phi T_\Phi p}{1 - T_\Phi p}.$$

Если выбрать  $T_\Phi = T_\alpha = 0,004$  с, а  $k_\Phi = 0,25 < 1$  и, следовательно,  $k_\Phi T_\Phi = 0,25 \cdot 0,004 = 0,001$  с =  $T_\pi$ , то аппроксимирующие ЛАЧХ и ЛФЧХ (они показаны на рис. 4 штриховыми линиями) будут близки к желаемым. При необходимости максимум штриховой опережающей фазы может быть смешен влево путем соответствующего выбора параметров  $T_\Phi$  и  $k_\Phi$ .

К сожалению, введение в контур дополнительного фильтра, формирующего на выходе сигнал,

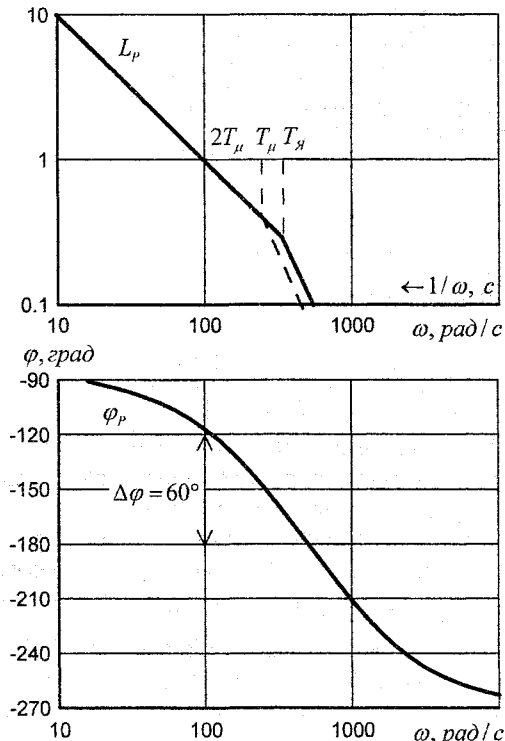


Рис. 2. ЛЧХ аналогового электропривода

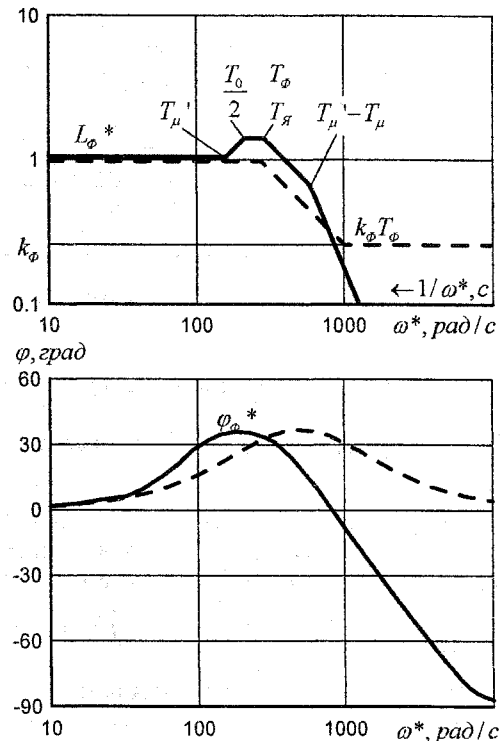


Рис. 3. ЛЧХ цифрового электропривода

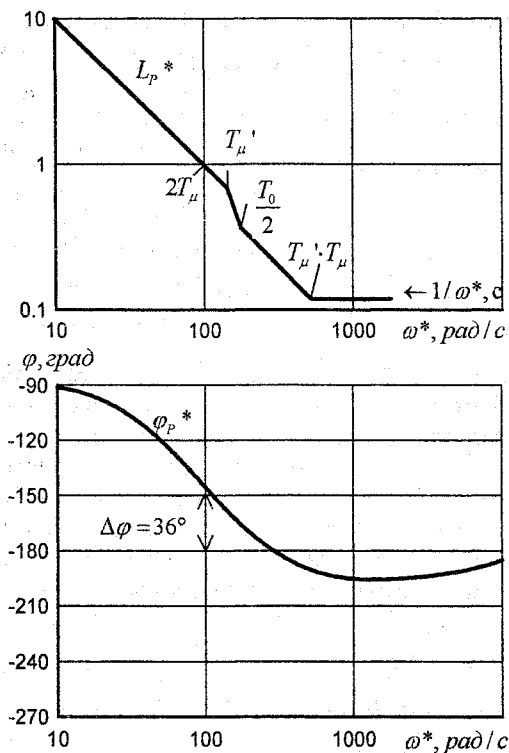


Рис. 4. Желаемые ЛЧХ цифрового фильтра

пропорциональный отрицательной производной входа, приводит к неустойчивости непрерывной и тем более импульсной систем. Сказанное побуждает к поиску нестандартных подходов к синтезу регуляторов высокоточных электроприводов [7, 8]. Один из возможных вариантов нетрадиционного

построения регулятора показан на рис. 5. По сравнению с обычным исполнением (рис. 1) здесь вместо дифференциального канала использовано неустойчивое апериодическое звено с коэффициентом передачи  $k_2$  и постоянной времени  $T_3$ . В отличие от исходной схемы (рис. 1), где коэффициент передачи пропорционального канала  $k_1$  принимался равным единице, здесь  $k_1$  может варьироваться в широких пределах. Необходимость в дополнительной фильтрации отпадает, поэтому  $T_2 = 0$ . Передаточная функция регулятора, соответствующая схеме на рис. 5, имеет вид:

$$W_{PC}(p) = k_{PC} \frac{T_4 p + 1}{T_3 p - 1},$$

$$\text{где } k_{PC} = k_2 - k_1; \quad T_4 = \frac{k_1 T_3}{k_2 - k_1}.$$

Получается необычное форсированное звено, с помощью которого при  $k_2 > k_1$  и, следовательно,  $T_4 < T_3$  возможно реализовать эффективную запаздывающую коррекцию.

Если отнести  $k_{PC}$  в состав контурного коэффициента передачи системы, условия выбора параметров  $k_1$ ,  $k_2$ ,  $T_3$  при настройке на технический оптимум запишутся так:

$$T_3 = k_{PC} \cdot K_p \cdot T_4; \quad T_4 = \frac{k_1 T_3}{k_2 - k_1} = T_M.$$

Отсюда, при  $K_p = 100$  получаем  $k_1 = 0,01$ ;  $T_3 = k_2 - k_1 = k_2 - 0,01$ . В частном случае, при  $k_2 = 1,001$  коэффициент передачи регулятора  $k_{PC} = 1$ , а фильтрующая постоянная времени  $T_3 = 1$  с. Амплитудная характеристика разомкнутого контура с новой коррекцией в точности совпадает с ис-

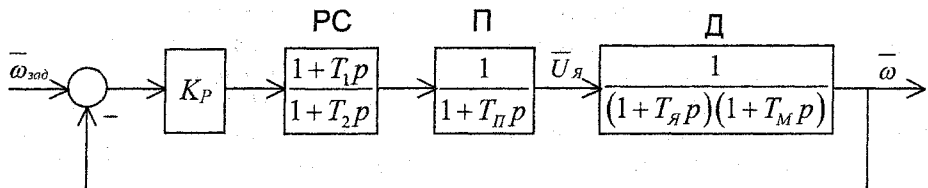


Рис. 5. Структурная схема электропривода с неминимально-фазовым регулятором

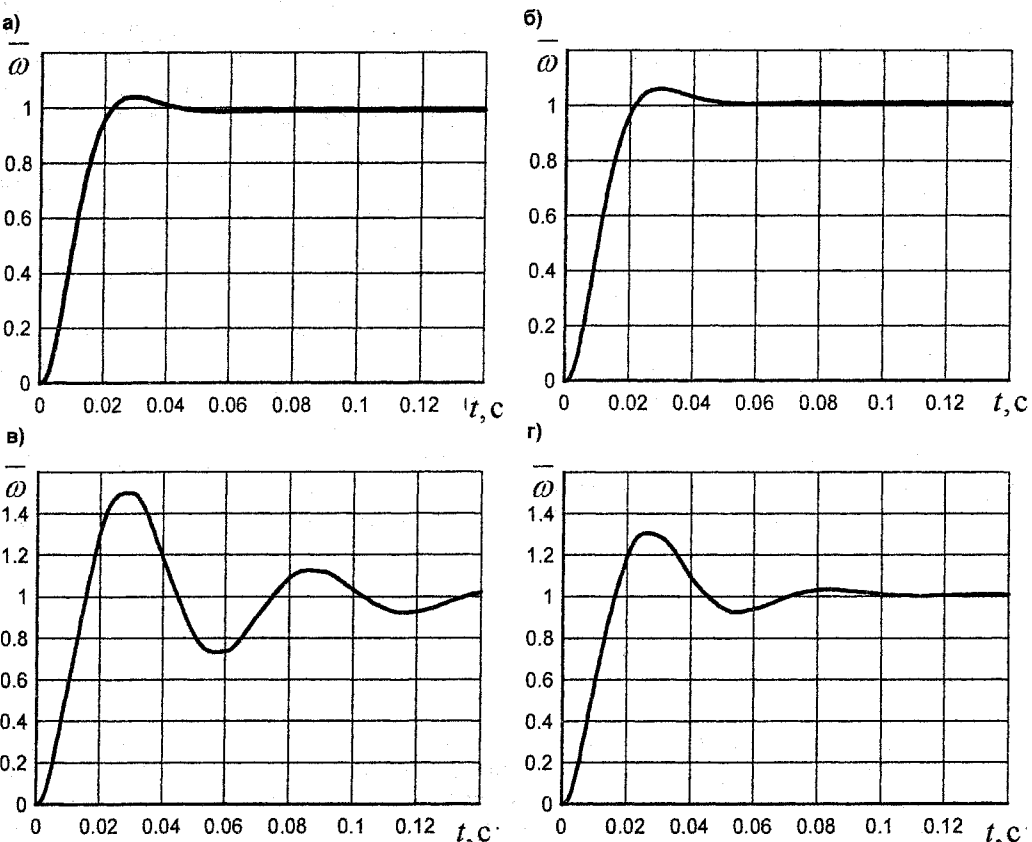


Рис. 6. Переходные процессы в аналоговом и цифровом приводе

ходной ЛАЧХ (рис. 2). Фазовые же характеристики в области низких частот существенно различаются. Если в исходной системе (рис. 1) отстающая фаза с ростом частоты равномерно увеличивается от  $0^\circ$  до  $270^\circ$ , то в схеме (рис. 5) она изменяется от  $-180^\circ$  до  $-270^\circ$  с существенным подъемом в области средних частот, компенсирующим отстающую фазу наиболее инерционного звена объекта. Подъем фазы с уровня  $-180^\circ$  до уровня  $-90^\circ$ , осуществляемый неминимально-фазовым звеном, свидетельствует как бы о появлении в контуре фиктивного форсирующего звена с постоянной времени  $T_{\text{фик}} = T_3$ . Это обстоятельство благоприятно отражается на динамике контура. В этом можно убедиться, если проанализировать переходную характеристику регулятора

$$h(t) = -(k_2 + k_1) + k_2 e^{\frac{t}{T_3}}$$

Для рассматриваемого численного примера при  $k_1 = 0,01$ ;  $k_2 = 1,01$ ;  $T_3 = 1$  с получаем

$$h(t) = -1 + 1,01e^{\frac{t}{1}}$$

При  $t = 0$   $h(t) = k_1 = 0,01$ ; при  $t \rightarrow \infty$   $h(t) \rightarrow \infty$ . Форсировка, которую создает неминимально-фазовое звено, более эффективна даже в сравнении с обычным интегральным регулятором. Если в интегральном регуляторе  $h(t)$  – это линейно-нарастающая функция, то здесь – нарастающая, но не по линейному, а по экспоненциальному закону.

Расчет переходных процессов в системах (рис. 1, рис. 5) с помощью ЭВМ также доказывает эффективность рассматриваемой коррекции. На рис. 6 показаны диаграммы рассчитанных переходных процессов. При этом, на ЭВМ моделировались как режимы работы систем с непрерывным корректирующим звеном (рис. 6а – для классической коррекции, рис. 6б – для неминимально-фазовой коррекции), так и режим работы с дискретным корректирующим звеном с периодом квантования  $T_0 = 0,01$  с (рис. 6в – для классической, рис. 6г – для неминимально-фазовой коррекции). Сравнивая характер переходного процесса (рис. 6г) в системе с неминимально-фазовым регулятором и характер процесса в системе с классиче-

ским регулятором (рис. 6в) можно убедиться в том, что при неминимально-фазовой коррекции максимальное перерегулирование составляет 27 %, то есть почти в два раза меньше, чем при обычной коррекции. Время затухания колебаний при использовании классического регулятора составляет 0,2 с (рис. 6в) против 0,1 с в случае неминимально-фазовой коррекции (рис. 6г).

Таким образом, усиление фильтрующих свойств системы, а также формирование на входе непрерывной части возрастающей функции веса

$$w(t) = \frac{dh(t)}{dt}$$

для устранения колебаний, связанных с увеличением периода дискретизации.

### Литература

1. Бесекерский В.А., Попов Е.П. Теория систем автоматического регулирования. – М.: Наука, 1972.
2. Коробатов Д.В., Серебряков А.Н. Компьютеризированный учебно-исследовательский стенд «Цифровой электропривод»// Вестник ЮУрГУ. Серия «Энергетика». – 2002. – Вып. 2. – № 7.
3. Суворов Г.В. Оценка динамики сложной системы автоматического регулирования по ам-

плитудным частотным характеристикам// Исследование электрических машин и автоматизированных электроприводов: Сб. науч. тр. № 69. – Челябинск: ЧПИ, 1970. – С. 4–23.

4. Козаченко В. Основные тенденции развития встроенных систем управления двигателями и требования к микроконтроллерам// CHIP NEWS. 1999. № 5.

5. Серебряков А.Н. Приближенный критерий устойчивости линейных импульсных систем// Исследование автоматизированных электроприводов, электрических машин и вентильных преобразователей: Сб. науч. тр. № 247. – Челябинск: ЧПИ, 1980. – С. 4–23.

6. Теория автоматического управления: Учебник для вузов/ Под ред. А.В. Нетушила. – 2-е изд. – М.: Высшая школа, 1976.

7. Кодкин В.П., Гафиятуллин Р.Х., Хайбяков Э.Р. Частотный анализ цифровых систем управления высокоточными следящими электроприводами с учетом звена подавления// Вестник ЮУрГУ. Серия «Энергетика». – 2002. – Вып. 2. – № 7.

8. Хусаинов Р.З., Чайчук А.Ю. Исследование перспективных структур цифрового управления следящим электроприводом// Вестник ЮУрГУ. Серия «Энергетика». – 2003. – Вып. 3. – № 11.

**Серебряков Анатолий Николаевич** в 1961 г. окончил Челябинский политехнический институт по специальности «Электрификация промышленных предприятий и установок». В 1968 г. защитил кандидатскую диссертацию. В 1970 г. получил звание доцента. С 1988 г. и по настоящее время работает доцентом на кафедре электромеханики и электромеханических систем. Руководитель цикла «Теория автоматического управления».

**Коробатов Денис Владимирович**, окончил Южно-Уральский государственный университет в 1998 году, доцент кафедры электромеханики и электромеханических систем, руководитель цикла «Микропроцессорные средства и системы».